

正員 上田年比古

正員 日高経大

○正員 塙口英照

正員 川博司

1)まえがき 筆者らは、これまで潜りゼキ下流域における流れの平均的特性に関する実験及び解析を行ない、ゼキ下流域の流れの構造を明らかにしようとした。しかし、潜りゼキ下流域においては、ゼキ頂部より発生した乱れが下流へと拡散してゆき、自由噴流と類似の強い乱流場を形成し、さらに水路底面に沿って大きな逆流域が存在するので、流れの解明には乱れの構造に関する研究が必要である。ここでは潜りゼキ下流域において、Hot Film流速計及びアロペラ流速計を用いて乱れを測定し、その構造を把握しようとするものである。

2)実験方法及び解析法 実験は、巾60cm長さ14mの水路に高さ15cmの刃形ゼキを取り付けて行なった。ゼキ下流60cmまでの主にボテンシャルコアの存在する領域においては二成分熱流速計により流れ方向及び鉛直方向の流速 U_x , U_z を測定しまた平均流速の測定及び60cmより下流の断面での乱れは正逆両用のアロペラ流速計により測定した。Hot Film流速計の場合のDataのサンプリング周波数は、30Hz及び100Hz、各測点でのData総数は4000個、アロペラ流速計では、サンプリング周波数1HzでData数300個とした。ここで用いたアロペラ流速計は一回転に3個のパルスを検出するもので、それをパンオシロ記録計で記録しパルスを読み取る。したものであり、得られたDataは、サンプリング間隔 Δt ごとの平均値の離散系列であり、一方Hot Film流速計により得られたDataは、一定時間間隔 Δt で連続的にサンプリングされた瞬間値の離散値系列で、当然ながら両者の示す乱れの性質は一般に同一のものではない。アロペラ流速計の直径は0.8cmであり、得られたDataのスペクトルはその直径に相当する周波数で切斷され、また応答周波数以上の乱れの成分は感知できないが、使用したアロペラの応答はかなり良好であり、サンプリング間隔 $\Delta t=1$ 秒としているのがこの影響は無視できる。

3)平均流速分布 図1に平均流速の測定結果を示す。噴流域では流れの全領域で流速分布の相似性が良く保たれているが、ゼキ下流140cmの断面(逆流域の消滅した位置)ではかなりやせた流速分布となっている。逆流域ではゼキ直後の下流11cm, 20cmの断面は、高さ全体にわたってかなり一様な分布をしているが、それより下流では相似な分布形を示している。

4)乱れ強度分布 図2に乱れ強度分布 $\sqrt{u'^2}$ (ゼキ頂部の断面平均流速)を示す。ゼキ頂部で発生した乱れは、強さを急速に増しながら下流へと広がってゆきボテンシャルコア末端附近で最大値を示す。各断面における強さの極大値は、平均流速ゼロの点(逆流域と噴流域との境界)よりもかなり上方の水路底からほぼ同じ高さに存在している。ボテンシャルコア末端より下流では、逆流域の高さはほぼ一定となり、各断面での乱れ強度の最大値は随々に減少し、水深方向に一様化される傾向にある。40cmより下流の断面ではアロペラ流速計による乱れ強度分布の測定値が並記されている。前述のように、アロペラ流速計では、乱れの高周波成分が切斷され

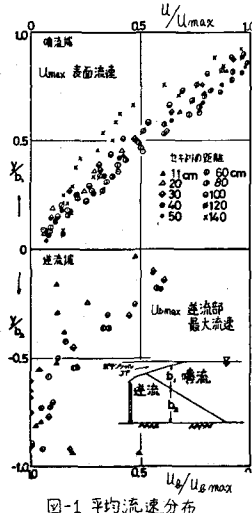
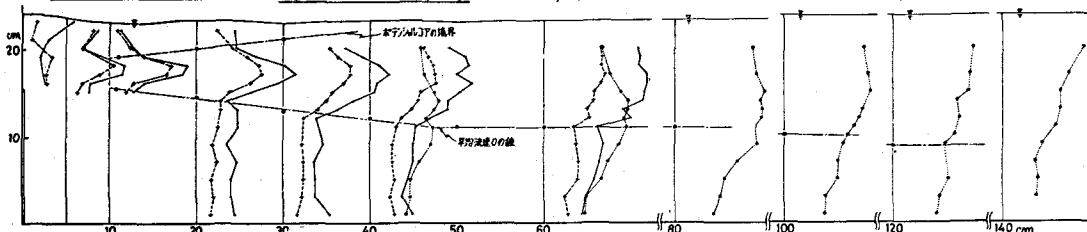


図1 平均流速分布

図2 乱れ強度分布 $\sqrt{u'^2}$: (Hot Film), (アロペラ) $\sqrt{u'^2}$: (Hot Film)

でいるが、その値は、逆流域ではホットフィルムによる測定値とよく一致している。水面付近になるとホットフィルムによる測定値より小さい値を示し、その極大値の位置も低めになっている。しかし、乱れの定性的な変化の様子は説明できるようであり、下流 110cm へ 120cm の断面付近では、上流域で見られたような乱れ強さの極大値がなくなり、水路底から水面へと単調に増加する傾向を示す。そして、この付近で平均流速ゼロの位置が不確定になり、逆流域が急に消滅する。図-3には、乱れ強度から計算したエネルギー分布 ($\bar{E} = \bar{U}^2 + \bar{v}^2$) 及びレイノルズ応力分布 ($\bar{U}\bar{v}$) を示す。セキ直部から発生する乱れは、そのエネルギーを急速に増加して発達し、噴流域内に集中した、非常にひずんだエネルギー分布を示し、ボテンシャルコア末端付近の断面で最大値をとり、それより下流では、最大値は減少しながら水深方向に一様化していく。レイノルズ応力 ($-\bar{U}'\bar{v}'$) は乱れ強度と類似の分布を示すが、前者に比して極端な形を示し、逆流域ではほとんどゼロに近く、噴流域内に急に増大している。

5) 相関関数 図-4 に下流 20cm 及び 60cm の断面での自己相関関数 R_{uu} を示す。全体的な相間として水路底から水面へと相間が小さくなり逆流域での相間はかなり大きい。逆流域では噴流域に比べて大きなスケールの場所で支配されているようである。また 20cm の断面と比較して 60cm の断面での相間は水路底の付近から水面付近まで形の相違が小さくなっている。下流になるにつれて、乱れのスケールが水深方向へと一様化されていくことを示すと考えられる。図-5 には底から同一高さにおける相間の流れ方向の変化を示す。水路底付近の逆流域では、20cm での相間が最も大きく、下流になるにつれて小さくなる。噴流域との境界付近では、流れ方向での相間は同じような形となっている。さらに水深方向へと高さが増すと、逆に下流になるにつれて相間が大きくなる。以上により、逆流域においては各断面での逆流域の高さに、噴流域

では同様に噴流域の高さに、それが支配されるようなスケールの乱れが存在すると考えられる。図-6 は、相関関数から計算した Integral time scale に、Taylor の凍結乱流の仮定を適用し、 $L_x = T_x \bar{U}$ (T_x : Integral time scale, \bar{U} : 各点の平均流速) から流れ方向の平均渦長 L_x を求め、各断面での逆流域高さ (b_2) 及び噴流域高さ (b_1) で無次元化したものである。 L_x/b_1 , L_x/b_2 (b_1 : 平均流速ゼロの点を原点とした水深方向の距離) に関する L_x/b_1 , L_x/b_2 は一定値を示すようであり、前述の b_1 , b_2 に支配されるスケールの乱れの存在を示していると思われる。しかし、Taylor の凍結乱流の仮定についてもさうに検討を要する問題である。

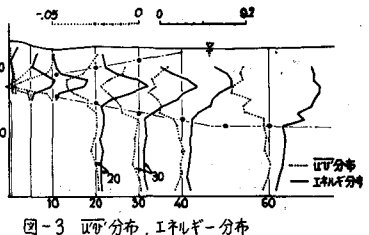


図-3 \bar{E} 分布, エネルギー分布

10

図-4 深さ方向の相間の変化

10

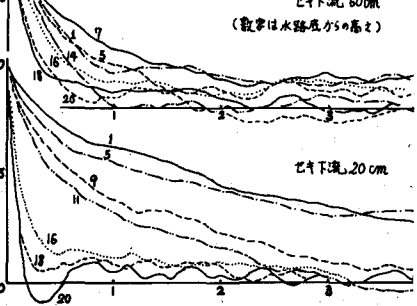


図-5 流れ方向の相間の変化

10

10

10

10

10

10

10

10

10

10

10

10

10

10

10

10

10

10

10

10

10

10

10

10

10

10

10

10

10

10

10

10

10

10

10

10

10

10

10

10

10

10

10

10

10

10

10

10

10

10

10

10

10

10

10

10

10

10

10

10

10

10

10

10

10

10

10

10

10

10

10

10

10

10

10

10

10

10

10

10

10

10

10

10

10

10

10

10

10

10

10

10

10

10

10

10

10

10

10

10

10

10

10

10

10

10

10

10

10

10

10

10

10

10

10

10

10

10

10

10

10

10

10

10

10

10

10

10

10

10

10

10

10

10

10

10

10

10

10

10

10

10

10

10

10

10

10

10

10

10

10

10

10

10

10

10

10

10

10

10

10

10

10

10

10

10

10

10

10

10

10

10

10

10

10

10

10

10

10

10

10

10

10

10

10

10

10

10

10

10

10

10

10

10

10

10

10

10

10

10

10

10

10

10

10

10

10

10

10

10

10

10

10

10

10

10

10

10

10

10

10

10

10

10

10

10

10

10

10

10

10

10

10

10

10

10

10

10

10

10

10

10

10

10

10

10

10

10

10

10

10

10

10

10

10

10

10

10

10

10

10

10

10

10

10

10

10

10

10

10

10

10

10

10

10

10

10

10

10

10

10

10

10

10

10

10

10

10

1